

## علمی-پژوهشی

## ارائه یک روش شبه تحلیلی برای استخراج شاخص‌های نمونه سیگنال کوچک ترانزیستورهای قدرت ریزموج با قابلیت تحرک بالای الکترون مبتنی بر فناوری گالیم نیتراید

مجید لرستانی<sup>۱</sup>، رمضان‌علی صادق‌زاده<sup>۲\*</sup>، محمد ناصر مقدسی<sup>۳</sup>

۱- دانشجوی دکتری، گروه مهندسی برق مخابرات، دانشگاه آزاد اسلامی، واحد علوم و تحقیقات، تهران، ایران ۲- استادیار، گروه مهندسی برق مخابرات، دانشگاه خواجه نصیرالدین طوسی، تهران، ایران ۳- استادیار، گروه مهندسی برق مخابرات، دانشگاه آزاد اسلامی، واحد علوم و تحقیقات، تهران، ایران.

(دریافت: ۱۳۹۸/۰۸/۱۱، پذیرش: ۱۳۹۹/۰۴/۲۰)

## چکیده

در دهه اخیر استفاده از ترانزیستورهای قدرت ریزموج با قابلیت تحرک بالای الکترون مبتنی بر فناوری گالیم نیتراید، برای طراحی تقویت‌کننده‌های قدرت در رادارها مورد توجه قرار گرفته است. به‌منظور طراحی یک تقویت‌کننده قدرت ریزموج با استفاده از این ترانزیستورها، نیاز به نمونه سیگنال بزرگ مناسبی از ترانزیستور است که به‌خوبی رفتار آن را بیان کند. اولین قدم در نمونه‌سازی سیگنال بزرگ، نمونه‌سازی سیگنال کوچک ترانزیستور است. این نمونه را می‌توان به دو قسمت پارازیتی و غیر پارازیتی تقسیم کرد. برای محاسبه عنصرهای غیر پارازیتی، هم باید ابتدا عنصرهای پارازیتی را مشخص کرد. در این مقاله با استفاده از یک الگوریتم بهبودیافته و نتایج اندازه‌گیری در شرایط کاری مختلف، خازن‌ها و سلف‌های پارازیتی یک ترانزیستور نمونه به‌طور مستقیم و بدون نیاز به روش بهینه‌سازی، در فرکانس‌های پایین محاسبه شده‌اند و سپس با چند تبدیل ماتریسی و روابط مستقیم، مقاومت‌های پارازیتی ترانزیستور در یک نقطه کار متعلق به ناحیه فعال (عدم نیاز به ولتاژ گیت سورس بزرگ‌تر از صفر ولت) محاسبه شده‌اند. صحت‌سنجی این روش بهبودیافته به‌وسیله مقایسه شاخص‌های پراکندگی سیگنال کوچک شبیه‌سازی شده ترانزیستور با نتایج اندازه‌گیری تا فرکانس ۱۰ گیگاهرتز، انجام شده است. نتایج نشان می‌دهد که در باند فرکانسی کاری ترانزیستور درصد خطا کمتر از ۴ درصد است. از مزایای این روش نسبت به روش‌های بهینه‌سازی، سرعت بالای تعیین عنصرهای مدار معادل و پیچیدگی کمتر آن است.

### کلیدواژه‌ها: ترانزیستور گالیم نیتراید، نمونه سیگنال کوچک، عنصرهای پارازیتی، عنصرهای غیر پارازیتی

## ۱- مقدمه

تحرک بالای الکترون<sup>۳</sup> با فن‌آوری GaN که اولین نوع آن‌ها در سال ۱۹۹۳ ساخته شد، از پیوند دو نیم‌رسانای GaN و آلومینیوم گالیم نیتراید<sup>۴</sup> که دارای شکاف انرژی متفاوت هستند، استفاده می‌شود [۳]. دلیل این کار، تشکیل یک‌لایه آزاد الکترون با سرعت بالا (گاز الکترونی دوبعدی) در کانال ترانزیستور است که توانایی کار در فرکانس‌های بالا را به‌قطع می‌دهد [۴]. برای طراحی یک تقویت‌کننده قدرت ریزموج با استفاده از ترانزیستور GaN HEMT، نیاز به یک نمونه سیگنال بزرگ مناسب برای این ترانزیستور است که بتواند به‌خوبی رفتار آن را بیان کند. برای نمونه‌سازی ترانزیستورهای ریزموج از دو روش استفاده می‌شود. اولین روش، نمونه‌سازی فیزیکی است که بر مبنای شاخص‌های فیزیکی که فناوری و هندسه ترانزیستور موردنظر را توصیف می‌کنند، بنانهاده شده است و روش بعدی نمونه‌سازی تجربی

در دهه اخیر، به‌کارگیری نیم‌رسانای گالیم نیتراید<sup>۱</sup> به‌دلیل شکاف بزرگ انرژی و رسانایی گرمایی بالاتر نسبت به نیم‌رسانای گالیم آرسناید<sup>۲</sup>، در کاربردهای توان بالا، که هم ولتاژها و میدان‌های الکتریکی بالا هستند و هم دمای کاری قطعه بالا می‌رود، موردتوجه قرار گرفته است [۱]. علاوه بر ویژگی‌های مذکور، سرعت اشباع الکترون در GaN، نسبت به GaAs بیشتر بوده و بنابراین برای کاربردهای فرکانس بالا و همچنین تقویت‌کننده‌های کلید زنی (به‌دلیل دارا بودن مقاومت کمتر در حالت روشن بودن) مناسب است [۲]. در ترانزیستور با قابلیت

\* رایانامه نویسنده‌ی مسئول: sadeghz@kntu.ac.ir

<sup>۳</sup> HEMT

<sup>۴</sup> AlGaIn

<sup>۱</sup> GaN

<sup>۲</sup> GaAs

خازن‌های پارازیتی درونی اثرات غیر ایده آل ناشی از اتصالات فلزی بیرونی ترانزیستور و خازن‌های پارازیتی درونی اثرات غیر ایده آل ناشی از اتصالات فلزی درونی را نمونه می‌کنند. در واقع پس از محاسبه خازن‌های پارازیتی می‌توان با چند تبدیل ماتریسی و با استفاده از روابط مستقیم، مقاومت و سلف‌های پارازیتی ترانزیستور را محاسبه کرد. پس دقت در محاسبه مقاومت و سلف‌های پارازیتی وابسته به محاسبه خازن‌های پارازیتی ترانزیستور است و همچنین دقت نمونه‌سازی سیگنال کوچک نیز وابسته به محاسبه دقیق خازن‌های پارازیتی است. در [۹] از روش مستقیم برای محاسبه عنصرهای پارازیتی استفاده شده است، ولی از معایب این روش به کار بردن ولتاژ گیت سورس بالا (بزرگ‌تر از صفر ولت) برای محاسبه مقاومت و سلف‌های پارازیتی است که این کار باعث صدمه دیدن به ترانزیستور می‌شود و همچنین در [۱۰] نیز از روش مستقیم برای محاسبه عنصرهای پارازیتی استفاده شده است، اما اثرات خازن‌های پارازیتی درونی ترانزیستور برای محاسبه مقاومت‌ها و سلف‌های پارازیتی در نظر نگرفته شده است. در [۱۱] نیز عنصرهای پارازیتی ترانزیستور به صورت مستقیم و بدون نیاز به بهینه‌سازی محاسبه شده‌اند، ولی اثرات خازن‌های پارازیتی درونی برای محاسبه مقاومت و سلف‌های پارازیتی در نظر نگرفته شده است.

در این مقاله با استفاده از یک الگوریتم بهبودیافته و نتایج اندازه‌گیری در شرایط کاری مختلف، خازن‌ها و سلف‌های پارازیتی یک ترانزیستور GaN HEMT نمونه به‌طور مستقیم و بدون نیاز به روش بهینه‌سازی، در فرکانس‌های پایین، محاسبه شده‌اند و سپس با چند تبدیل ماتریسی و روابط مستقیم، مقاومت‌های پارازیتی ترانزیستور در یک نقطه کار متعلق به ناحیه فعال (عدم نیاز به ولتاژ گیت سورس بزرگ‌تر از صفر ولت) محاسبه شده‌اند. در تمام مراحل به منظور راستی آزمایی نتایج کار، از مقادیر اندازه‌گیری شده یک ترانزیستور توان بالا GaNHEMT به شماره قطعه‌ی CLFIG0060-30 متعلق به شرکت امپلئون<sup>۱</sup> استفاده شده است [۱۲].

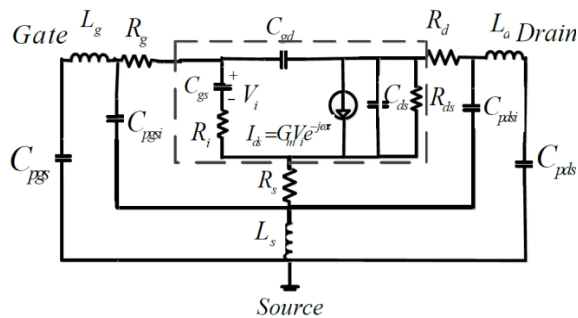
ادامه ساختار مقاله به شرح زیر است. در قسمت دوم، شرح مختصری از ترانزیستور استفاده شده در این تحقیق داده می‌شود. در قسمت سوم مدار معادل سیگنال کوچک ترانزیستور GaN HEMT که شامل ۱۷ عنصر است، معرفی می‌شود. در قسمت چهارم، خازن‌ها، سلف‌ها و مقاومت‌های پارازیتی ترانزیستور محاسبه می‌شوند. در قسمت پنجم برای صحت سنجی روش به کاررفته شده، نتایج نمونه‌سازی با نتایج اندازه‌گیری در

است که لازم آن اندازه‌گیری‌هایی است که رفتار ترانزیستور را توصیف کند. از معایب نمونه‌سازی فیزیکی سختی به دست آوردن اطلاعات فیزیکی ترانزیستور مورد نظر هست و مهم‌ترین مزیت روش نمونه‌سازی تجربی این است که نمونه طراحی شده می‌تواند به خوبی اثرات غیر خطی ترانزیستور را پیش‌بینی کرده و نسبت به نمونه‌سازی فیزیکی به زمان کمتری نیاز است و نیاز به حل معادلات غیر خطی پیچیده نیست. البته از معایب این روش می‌توان به رنج اعتبار این نمونه که برابر با رنج داده‌های اندازه‌گیری است، اشاره کرد. در این تحقیق از روش تجربی برای نمونه‌سازی سیگنال کوچک ترانزیستور استفاده شده است. اولین قدم در نمونه‌سازی سیگنال بزرگ، نمونه‌سازی سیگنال کوچک ترانزیستور است. نمونه سیگنال کوچک ترانزیستور را می‌توان به دو قسمت پارازیتی و غیر پارازیتی تقسیم کرد. برای محاسبه عنصرهای غیر پارازیتی ترانزیستور باید ابتدا عنصرهای پارازیتی را محاسبه کرد. در واقع مسئله مهم و اساسی در نمونه‌سازی سیگنال کوچک این ترانزیستورها محاسبه عنصرهای پارازیتی است و دقت نمونه‌سازی سیگنال کوچک ترانزیستور وابسته به محاسبه دقیق عنصرهای پارازیتی است و می‌توان نتیجه گرفت که حتی دقت نمونه‌سازی سیگنال بزرگ ترانزیستور نیز وابسته به محاسبه این عنصرها است. پس از محاسبه عنصرهای پارازیتی ترانزیستور می‌توان با چند تبدیل ماتریسی و محاسبه شاخص‌های ادمیتانس در فرکانس‌های پایین، عنصرهای غیر پارازیتی ترانزیستور را محاسبه کرد [۵]. در واقع مقادیر به دست آمده برای عنصرهای پارازیتی تقریباً مستقل از فرکانس و مقدار نقطه کار هستند، بنابراین مقادیر به دست آمده برای عنصرهای غیر پارازیتی برای فرکانس‌های بسیار بالا نیز، معتبر خواهند بود. یعنی می‌توان در فرکانس‌ها و بایاس‌های مختلف مقادیر عنصرهای غیر پارازیتی را محاسبه و رفتار ترانزیستور را در شرایط کاری مختلف به دست آورد و این یک مرحله مهم در نمونه‌سازی سیگنال بزرگ ترانزیستور است. برای محاسبه عنصرهای پارازیتی ترانزیستور HEMT از دو روش بهینه‌سازی و مستقیم استفاده می‌شود. در روش بهینه‌سازی، مقادیر عنصرهای پارازیتی برای همگرا شدن به شاخص‌های پراکندگی سیگنال کوچک ترانزیستور، بهینه می‌شوند [۷ و ۸]. از معایب این روش می‌توان به وابسته بودن مقادیر عنصرها به شرایط اولیه، روش بهینه‌سازی و همچنین پیچیدگی بیشتر، اشاره کرد. در روش مستقیم، عنصرهای پارازیتی بدون نیاز به بهینه‌سازی و با استفاده از روابط مستقیم و یک سری فرض‌ها، محاسبه می‌شوند. مرحله مهم در محاسبه عنصرهای پارازیتی ترانزیستور، محاسبه مقاومت و سلف‌های پارازیتی است و برای محاسبه این عنصرها، باید ابتدا خازن‌های پارازیتی را محاسبه کرد. خازن‌های پارازیتی ترانزیستور را می‌توان به دودسته خازن‌های پارازیتی بیرونی و درونی تقسیم‌بندی کرد.

<sup>۱</sup> AMPLION

### ۳- مدار معادل سیگنال کوچک فرکانس بالای ترانزیستور GaN HEMT

نمونه سیگنال کوچک ترانزیستورهای اثر میدان<sup>۱</sup>، برای طراحی تقویت کننده‌های فعال خطی بسیار مفید است. از نمونه مذکور می‌توان برای تحلیل پایداری و نویز در این تقویت کننده‌ها استفاده کرد. در شکل (۳)، مدار معادل سیگنال کوچک، در فرکانس‌های محدوده ریزموج و بالاتر از آن، برای ترانزیستور GaN HEMT که شامل ۱۷ عنصر است، نشان داده شده است. اعتبار این مدار معادل بستگی به ابعاد طولی ترانزیستور دارد و تا فرکانسی که ابعاد طولی ترانزیستور در مقابل طول موج قابل صرف نظر کردن باشد، معتبر است. ترانزیستور مورد استفاده در این تحقیق دارای ابعاد طولی ۷ میلی متر است و می‌توان به صورت تقریبی اعتبار این مدار معادل را تا فرکانس ۱۰ گیگاهرتز در نظر گرفت. در این شکل، قسمتی که با خط چین نشان داده شده، بخش غیر پارازیتی ترانزیستور و بخش دیگر مدار، قسمت پارازیتی آن است. قسمت پارازیتی، اثرات غیر ایده آل ناشی از اتصالات فلزی و قسمت غیر پارازیتی که با عنصرهای خطی نشان داده شده، رفتار خطی ترانزیستور را در ناحیه فعال نمونه می‌کند.



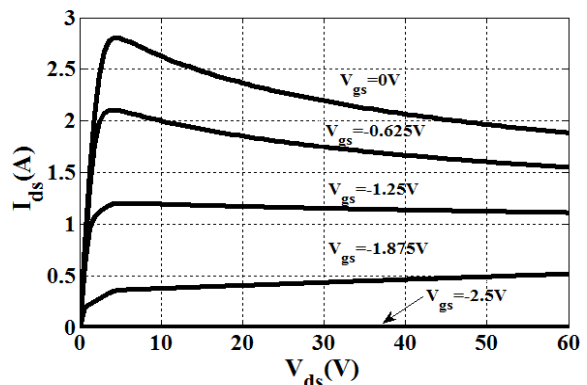
شکل (۳): مدار معادل سیگنال کوچک فرکانس بالای ترانزیستور GaN HEMT.

در شکل (۳)،  $G_m$  هدایت انتقالی،  $R_{ds}$  مقاومت بین درین-سورس،  $R_i$  مقاومت کانال،  $C_{gs}$  خازن گیت-سورس،  $C_{gd}$  خازن گیت-درین و  $C_{ds}$  خازن ترین-سورس ترانزیستور است و  $\tau$  تأخیر زمانی جریان درین - سورس را نسبت به ولتاژ خازن  $C_{gs}$  نمونه می‌کند. همچنین  $R_s$  و  $L_s$  مقاومت و سلف پارازیتی سورس،  $R_d$  و  $L_d$  مقاومت و سلف پارازیتی درین،  $R_g$  و  $L_g$  مقاومت و سلف پارازیتی گیت،  $C_{pgs}$  خازن پارازیتی بیرونی گیت- سورس و  $C_{pds}$  خازن پارازیتی درونی گیت-سورس،  $C_{pds}$  خازن پارازیتی بیرونی درین-سورس و  $C_{pds}$  خازن پارازیتی درونی درین-سورس هست. اگر عنصرهای پارازیتی ترانزیستور محاسبه شوند، با استفاده از

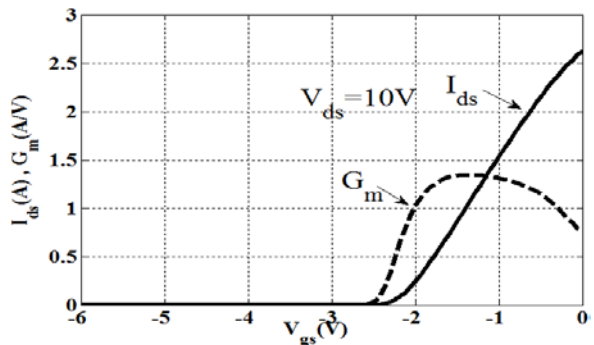
شرایط کاری مختلف، مقایسه می‌شود. در قسمت ششم یک جدول مقایسه‌ای برای ارزیابی روش به کاررفته شده با کارهای دیگران ارائه شده است و بالاخره در قسمت پایانی، یک جمع‌بندی از مطالب بیان خواهد شد.

### ۲- معرفی ترانزیستور استفاده شده

در این مقاله به منظور راستی آزمایی نتایج کار، از مقادیر اندازه‌گیری شده یک ترانزیستور توان بالا GaN HEMT به شماره قطعه CLF1G0060-30 متعلق به شرکت AMPLEON استفاده شده است [۱۲]. این ترانزیستور با فناوری طول گیت  $0.5 \mu m$  ساخته شده و دارای قابلیت توان دهی به میزان  $30 W$  است. همچنین این ترانزیستور دارای فرکانس ماکسیمم کاری بیشینه ۶ گیگاهرتز و ولتاژ آستانه  $2/4 V$  است. در شکل (۱)، مشخصه ایستای این ترانزیستور در ولتاژهای مختلف گیت سورس ( $V_{gs}$ ) و درین سورس ( $V_{ds}$ ) و دمای  $27^\circ C$  و همچنین در شکل (۲)، هدایت انتقالی ( $G_m$ ) ایستا و مشخصه ایستا این ترانزیستور به ازای ولتاژهای مختلف گیت سورس و یک ولتاژ درین سورس ثابت در ناحیه فعال و در دمای  $27^\circ C$  درجه سانتی گراد، نشان داده شده است.



شکل (۱): مشخصه ایستای ترانزیستور مورد نظر در ( $V_{gs}$ ) ها ( $V_{ds}$ ) های مختلف و دمای  $27^\circ C$ .



شکل (۲): هدایت انتقالی  $G_m$  ایستا و مشخصه ایستای ترانزیستور مورد نظر به ازای ولتاژهای مختلف گیت سورس و ولتاژ درین سورس  $10 V$  در ناحیه فعال و دمای  $27^\circ C$ .

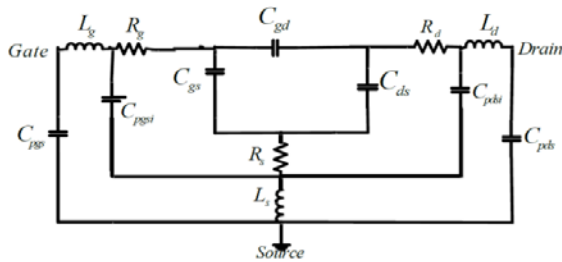
<sup>1</sup> Field effect transistors(FET)

#### ۴- محاسبه عنصرهای پارازیتی ترانزیستور

همان‌طور که اشاره شد، برای محاسبه ماتریس امپدانس قسمت غیر پارازیتی و محاسبه عنصرهای غیر پارازیتی در فرکانس‌های محدوده طیف ریزموج، باید ابتدا عنصرهای پارازیتی ترانزیستور را محاسبه کرد. در ادامه خازن‌ها، سلف‌ها و مقاومت‌های پارازیتی ترانزیستور GaN HEMT موردنظر محاسبه می‌شوند.

#### ۴-۱- محاسبه خازن‌های پارازیتی

برای محاسبه خازن‌های پارازیتی در فرکانس‌های موردنظر، از طریق نتایج اندازه‌گیری و روابط ریاضی نمی‌توان از نمونه سیگنال کوچک ترانزیستور در شکل (۳) استفاده کرد. دلیل این موضوع، تعداد زیاد عنصرهای مجهول در نمونه است که باید آن‌ها را برای محاسبه خازن‌های پارازیتی ساده کرد. برای به دست آوردن خازن‌های پارازیتی می‌توان از شاخص‌های پراکندگی سیگنال کوچک ترانزیستور در ولتاژ درین-سورس برابر با صفولت و ولتاژ گیت-سورس پایین‌تر از ولتاژ آستانه ( $V_{gs} < V_p$ ) استفاده کرد [۵]. در این نقطه کار، مدار معادل سیگنال کوچک فرکانس بالای ترانزیستور GaN HEMT در شکل (۳) را می‌توان به صورت شکل (۴)، نمایش داد:



شکل (۴): مدار معادل سیگنال کوچک محدوده طیف ریزموج

ترانزیستور GaN HEMT در بایاس ( $V_{gs} < V_p$  و  $V_{ds} = 0.7$ ).

در این نقطه کار به دلیل این‌که کانالی بین درین و سورس ایجاد نمی‌شود می‌توان از مقاومت درین سورس و منبع جریان درین-سورس به راحتی صرف نظر کرد. البته شکل (۴) نیز دارای عنصرهای مجهول زیادی است و باید این مدار را نیز برای محاسبه خازن‌های پارازیتی ساده کرد. در فرکانس‌های خیلی پایین، می‌توان از اثر مقاومت‌ها و سلف‌های پارازیتی در قسمت موهومی شاخص‌های ادیمیتانس شکل (۴) به خوبی صرف نظر کرد [۵]. بنابراین می‌توان قسمت موهومی شاخص‌های ادیمیتانس مدار معادل سیگنال کوچک ترانزیستور در شکل (۴) را با استفاده از روابط زیر به دست آورد:

$$\text{Im}(Y_{11}) = \omega(C_{pgs} + C_{pgsi} + C_{gs} + C_{gd}) \quad (5)$$

$$\text{Im}(Y_{12}) = \text{Im}(Y_{21}) = -j\omega C_{gd} \quad (6)$$

$$\text{Im}(Y_{22}) = \omega(C_{pds} + C_{pdsi} + C_{ds} + C_{gd}) \quad (7)$$

همان‌طور که در این روابط دیده می‌شود تعداد مجهولات از

ماتریس پراکندگی سیگنال کوچک ترانزیستور در شکل (۳) و چند عمل تبدیل ماتریسی، می‌توان ماتریس ادیمیتانس قسمت غیر پارازیتی ترانزیستور را نیز محاسبه کرد. مراحل محاسبه ماتریس ادیمیتانس قسمت غیر پارازیتی ترانزیستور، به ترتیب زیر است:

- اندازه‌گیری شاخص‌های پراکندگی نمونه سیگنال کوچک ترانزیستور در شکل (۳) و تشکیل ماتریس پراکندگی
- تبدیل ماتریس پراکندگی به ماتریس ادیمیتانس
- حذف اثرات خازن‌های پارازیتی بیرونی از ماتریس ادیمیتانس
- تبدیل ماتریس ادیمیتانس استخراج شده مرحله قبل به ماتریس امپدانس
- حذف اثر سلف‌های پارازیتی از ماتریس امپدانس
- تبدیل ماتریس امپدانس استخراج شده مرحله قبل به ماتریس ادیمیتانس
- حذف اثرات خازن‌های پارازیتی درونی از ماتریس ادیمیتانس
- تبدیل ماتریس ادیمیتانس استخراج شده مرحله قبل به ماتریس امپدانس
- حذف اثر مقاومت‌های پارازیتی از ماتریس امپدانس

و بالاخره تبدیل ماتریس امپدانس مرحله قبل به ماتریس ادیمیتانس. شاخص‌های ماتریس ادیمیتانس قسمت غیر پارازیتی شکل (۳) را می‌توان در فرکانس‌های پایین (کمتر از ۵ گیگاهرتز) از روابط (۱) تا (۴) به دست آورد [۵]:

$$Y_{11} = R_i C_{gs}^2 \omega^2 + j\omega(C_{gs} + C_{gd}) \quad (1)$$

$$Y_{12} = -j\omega C_{gd} \quad (2)$$

$$Y_{21} = G_m - j\omega(C_{gd} + G_m(R_i C_{gs} + \tau)) \quad (3)$$

$$Y_{22} = G_{ds} + j\omega(C_{gd} + C_{ds}) \quad (4)$$

بنابراین به ترتیب با استفاده از مراحل زیر و با استفاده از روابط (۱) تا (۴)، می‌توان تمام عنصرهای غیر پارازیتی مدار معادل سیگنال کوچک فرکانس بالای ترانزیستور را به دست آورد:

•  $C_{gd}$  را از قسمت موهومی  $Y_{12}$

•  $G_{ds}$  و  $C_{ds}$  را از قسمت‌های موهومی و حقیقی  $Y_{22}$

•  $C_{gs}$  و  $R_i$  را از قسمت‌های موهومی و حقیقی  $Y_{11}$

•  $G_m$  و  $\tau$  را از قسمت حقیقی و موهومی  $Y_{21}$

لازم به یادآوری است که مقادیر به دست آمده برای عنصرهای پارازیتی تقریباً مستقل از فرکانس و مقدار نقطه کار هستند، بنابراین مقادیر به دست آمده برای عنصرهای غیر پارازیتی برای فرکانس‌های بسیار بالا نیز، معتبر خواهند بود. در ادامه نحوه محاسبه عنصرهای پارازیتی به طور مفصل شرح داده شده است.

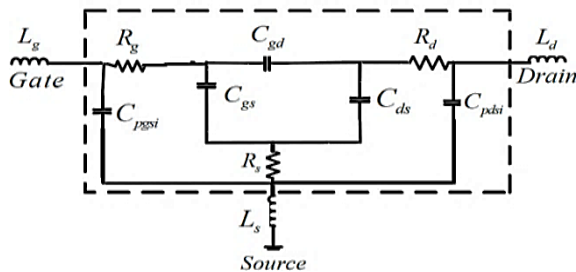
است، برای خازن‌های پارازیتی به‌دست‌می‌آید.

جدول (۱): مقادیر خازن‌های پارازیتی.

$C_{pgs}$	$C_{pdsi}$	$C_{pds}$	$C_{pdsi}$
۳۹۸ff	۲۷۸۸ff	۳۹۸ff	۱۱۹۴ff

#### ۴-۲- محاسب مقاومت‌ها و سلف‌های پارازیتی

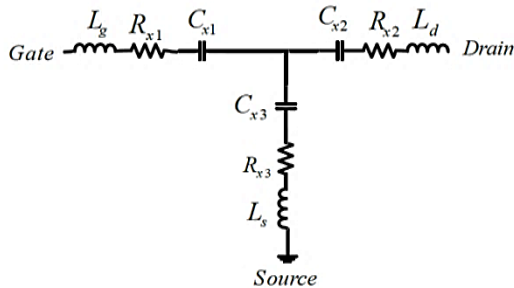
برای محاسبه مقاومت‌ها و سلف‌های پارازیتی ترانزیستور HEMT از شاخص‌های پراکنندگی سیگنال کوچک در بایاس از  $(V_{gs} > 0, V_{ds} = 0)$  استفاده می‌شود. در این نقطه کار سد شاتکی زیر گیت ترانزیستور، به‌صورت یک شبکه گسترده RC نمونه می‌شود [۵]. این روش به دلیل بالا بودن  $V_{gs}$  که باعث آسیب رسیدن به ترانزیستور می‌شود، مناسب نیست. روش دیگر برای به دست آوردن مقاومت‌ها و سلف‌های پارازیتی ترانزیستور GaN HEMT استفاده از شاخص‌های سیگنال کوچک ترانزیستور در نقطه کار  $(V_{gs} = 0, V_{ds} = 0)$  است. یکی از معایب این روش صرف نظر کردن از اثر خازن‌های پارازیتی درونی ترانزیستور است. روش دیگر برای به دست آوردن مقاومت‌ها و سلف‌های پارازیتی ترانزیستور GaN HEMT استفاده از شاخص‌های پراکنندگی سیگنال کوچک ترانزیستور در نقطه کار  $(V_{gs} < V_p, V_{ds} = 0)$  است. در شکل (۴)، اگر ماتریس پراکنندگی را به‌دست آورده و اثر خازن‌های پارازیتی بیرونی را از آن کم کنیم، به‌شکل زیر می‌رسیم:



شکل (۶): مدار معادل سیگنال کوچک محدوده طیف ریزموج

ترانزیستور GaN HEMT در نقطه کار  $(V_{gs} < V_p, V_{ds} = 0)$  با کم کردن اثر خازن‌های پارازیتی بیرونی.

در شکل (۶) قسمتی که با خط چین مشخص شده است را می‌توان با تبدیل مدار معادل  $\pi$  به T ساده کرد و به شکل (۷) مرسیم [۱۶]:



شکل (۷): شکل (۶) بعد از تبدیل مدار معادل  $\pi$  به T

تعداد روابط بیشتر است و برای این که بتوان خازن‌های پارازیتی درونی و بیرونی را به‌طور مستقیم و بدون نیاز به بهینه‌سازی محاسبه کرد نیاز است از یک سری فرض‌ها استفاده کرد. فرض‌های مورد استفاده در این نقطه کار به‌صورت زیر است:

$$C_{pgs} = C_{pds} \quad (۸)$$

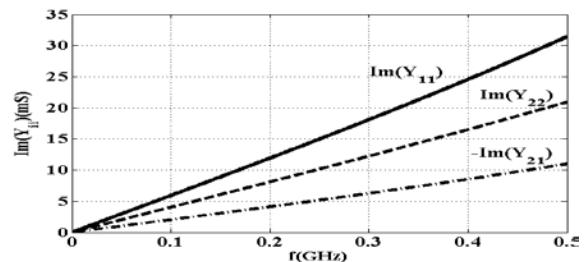
$$C_{gs} = C_{ds} \quad (۹)$$

$$C_{pdsi} = 3C_{pds} \quad (۱۰)$$

$$C_{ds} = 4C_{pds} \quad (۱۱)$$

درواقع فرض اول بر مبنای تقارن ترانزیستور در دو طرف گیت و سورس [۱۳] و فرض دوم بر مبنای گسترش یکسان ناحیه تهی و همچنین تقارن ترانزیستور در دو طرف گیت و سورس استخراج شده‌اند [۱۳]. فرض سوم به دلیل بزرگ بودن خازن  $C_{pdsi}$  در مقایسه با خازن  $C_{pds}$  و همچنین کم کردن خطا استخراج شده است [۱۴]. فرض چهارم نیز به دلیل بزرگ بودن خازن  $C_{ds}$  نسبت به خازن  $C_{pds}$  و همچنین این که خازن  $C_{pds}$  را می‌توان جزئی از خازن  $C_{ds}$  در نظر گرفت، استخراج شده است [۱۵].

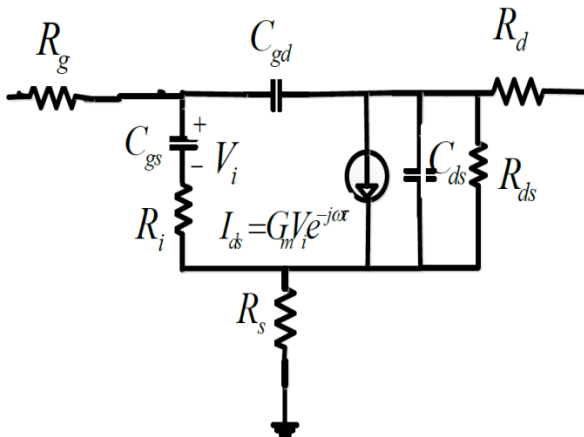
بنابراین اگر شاخص‌های پراکنندگی سیگنال کوچک فرکانس پایین ترانزیستور GaN HEMT در شکل (۴) موجود باشد و این شاخصها را به ادمیتانس تبدیل کرد، با استفاده از سه رابطه (۵) تا (۷) و همچنین فرض‌های (۸) تا (۱۱)، می‌توان خازن‌های پارازیتی ترانزیستور را محاسبه کرد. در شکل (۵)، قسمت موهومی شاخص‌های ادمیتانس ترانزیستور مدنظر در بایاس  $(V_{gs} = -6V, V_{ds} = 0V)$  و باند فرکانسی ۱۰۰ کیلوهرتز تا ۰/۵ گیگاهرتز نشان داده شده است:



شکل (۵): قسمت موهومی شاخص‌های ادمیتانس ترانزیستور مدنظر در بایاس  $(V_{gs} = -6V, V_{ds} = 0V)$  و باند فرکانسی ۱۰۰ KHz تا ۰/۵ GHz.

همان‌طور که در شکل (۵) مشاهده می‌شود، تغییرات خطی قسمت موهومی شاخص‌های ادمیتانس ترانزیستور، صحت روابط (۵) تا (۷) را تأیید می‌کنند. البته در شکل (۵)،  $-\text{Im}(Y_{12})$  رسم شده است. با استفاده از این شکل و روابط (۵) تا (۷) و همچنین فرض‌های (۸) تا (۱۱)، مقادیر زیر که در جدول (۱) آورده شده

کوچک در ناحیه فعال هست. اگر ماتریس پراکندگی شکل (۳) را در یک نقطه کار متعلق به ناحیه فعال محاسبه و با چند عمل تبدیل ماتریسی اثر خازن‌ها و سلف‌های پارازیتی را کم کنیم، به شکل زیر می‌رسیم:



شکل (۹): شکل (۳) بعد از کم کردن اثر خازن‌ها و سلف‌های پارازیتی.

شاخص‌های امپدانس شکل بالا را می‌توان به صورت زیر نوشت [۱۰]:

$$Z_{11} = R_g + R_s + \frac{G_{ds} - j\omega(C_{gd} + C_{ds})}{D} \quad (15)$$

$$Z_{12} = R_s + \frac{j\omega C_{gd}}{D} \quad (16)$$

$$Z_{21} = R_s - \frac{G_m - j\omega C_{gd}}{D} \quad (17)$$

$$Z_{22} = R_d + R_s - \frac{\omega^2 C_{gs} C_{gd} R_i - j\omega(C_{gs} + C_{gd})}{D(1 + j\omega C_{gs} R_i)} \quad (18)$$

که در این روابط:

$$G_{ds} = \frac{1}{R_{ds}} \quad (19)$$

$$G_m = g_m e^{-j\omega\tau} \quad (20)$$

$$D = -\omega^2(\Delta + C_{gs} C_{gd} G_{ds} R_i) + j\omega[C_{gs} G_{ds} + C_{gd}(G_m G_{ds})] \quad (21)$$

$$\Delta = C_{gs} C_{ds} + C_{gs} C_{gd} + C_{gd} C_{ds} \quad (22)$$

با جایگذاری روابط (۱۹) تا (۲۲) در روابط (۱۵) تا (۱۸)، قسمت حقیقی شاخص‌های امپدانس شکل (۸) را می‌توان به صورت زیر نوشت [۱۰]:

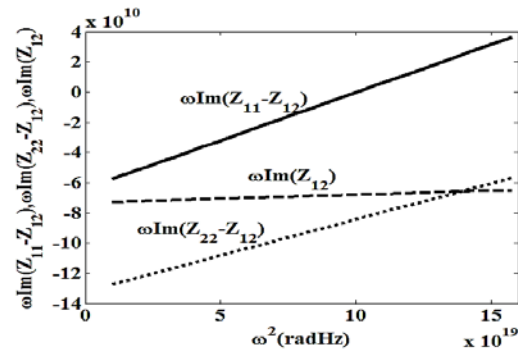
$\omega$  برابر قسمت موهومی شاخص‌های امپدانس شکل (۷) را می‌توان به صورت زیر نوشت:

$$\omega \text{Im}(Z_{11}) = \omega^2(L_g + L_s) - \left(\frac{1}{C_{x1}} + \frac{1}{C_{x3}}\right) \quad (12)$$

$$\omega \text{Im}(Z_{12}) = \omega^2 L_s - \frac{1}{C_{x3}} \quad (13)$$

$$\omega \text{Im}(Z_{22}) = \omega^2(L_d + L_s) - \left(\frac{1}{C_{x2}} + \frac{1}{C_{x3}}\right) \quad (14)$$

بنابراین اگر شاخص‌های پراکندگی سیگنال کوچک شکل (۴) را محاسبه و آن را به ادمیتانس تبدیل کنیم و اثر خازن‌های پارازیتی بیرونی را از این ماتریس کم کرده و ماتریس حاصل را به ماتریس امپدانس تبدیل کنیم، می‌توانیم  $\omega$  برابر قسمت موهومی شاخص‌های ماتریس امپدانس حاصله را در برابر  $\omega_2$  رسم کنیم، می‌توانیم به راحتی سلف‌های پارازیتی ترانزیستور را محاسبه کنیم. در شکل (۸)،  $\omega$  برابر قسمت موهومی شاخص‌های امپدانس در برابر  $\omega_2$  برای ترانزیستور مدنظر در باند فرکانسی ۰/۵ گیگاهرتز تا ۲ گیگاهرتز و نقطه کار ( $V_{gs} < V_p$  و  $V_{ds} = 0$  v) آورده شده است:



شکل (۸):  $\omega$  برابر قسمت موهومی شاخص‌های امپدانس در برابر  $\omega_2$  برای ترانزیستور مدنظر در باند فرکانسی ۰/۵GHz تا ۲GHz

با توجه به شکل (۸) و روابط (۱۲) تا (۱۴)، مقادیر زیر برای سلف‌های پارازیتی به دست می‌آید:

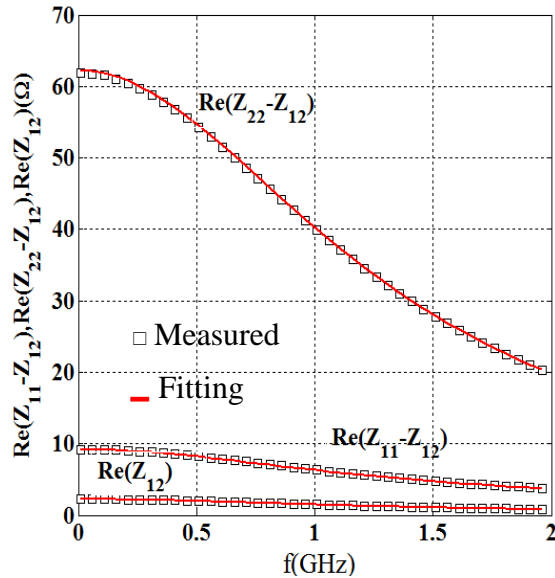
$$L_g = 637 \text{pH}, L_d = 478 \text{pH}, L_s = 55/5 \text{pH}$$

بعد از محاسبه سلف‌های پارازیتی می‌توان با استفاده از ماتریس امپدانس شکل (۶) و کم کردن اثر سلف‌های پارازیتی از این ماتریس و تبدیل ماتریس حاصل به ادمیتانس و کم کردن اثر خازن‌های پارازیتی درونی از این ماتریس و تبدیل ماتریس حاصله به امپدانس، مقاومت‌های پارازیتی را از قسمت حقیقی شاخص‌های امپدانس ماتریس حاصله به دست آورد [۱۴]. ولی این روش به دلیل عدم قطعیت شاخص‌های پراکندگی در این نقطه کار، برای محاسبه مقاومت‌های پارازیتی مناسب نیست [۱۴]. یک روش مناسب برای به دست آوردن مقاومت‌های پارازیتی ترانزیستور استفاده از شاخص‌های پراکندگی سیگنال

کار زیر برای محاسبه مقاومت‌های پارازیتی در نظر گرفته شده است:

$$V_{gs} = -2/25V, V_{ds} = 6V, I_{ds} = 43mA$$

در شکل زیر شاخص‌های امپدانس شکل (۸) و نتایج متناسب شده با این شاخص‌ها با استفاده از روابط (۲۳) تا (۲۵) در باند فرکانسی ۱۰ مگاهرتز تا ۲ گیگاهرتز در نقطه کار موردنظر نشان داده شده است:



شکل (۱۰): شاخص‌های امپدانس شکل (۸) و نتایج متناسب شده با این شاخص‌ها با استفاده از روابط (۲۳) تا (۲۵) در باند فرکانسی ۱۰ MHz تا ۲ GHz در نقطه کار موردنظر.

با توجه به مطالب گفته شده مقادیر زیر برای مقاومت‌های پارازیتی به دست می‌آید:

$$R_g = 1/2\Omega, R_s = 0/155\Omega, R_d = 0/755\Omega$$

## ۵- صحت سنجی الگوریتم پیشنهادی

در این قسمت با توجه به محاسبه عنصرهای پارازیتی ترانزیستور مدنظر در قسمت‌های قبل، در چند نقطه کار (متعلق به ناحیه فعال) با استفاده از روش بیان شده در قسمت سوم، عنصرهای غیر پارازیتی در این نقاط کار محاسبه و مدار معادل سیگنال کوچک ترانزیستور در نرم‌افزار Agilent ADS پیاده‌سازی می‌شود. در واقع برای صحت سنجی الگوریتم پیشنهادی شاخص‌های پراکندگی مدار معادل سیگنال کوچک ترانزیستور مدنظر در باند فرکانسی ۱۰۰ کیلوهرتز تا ۱۰ گیگاهرتز توسط نرم‌افزار ADS شبیه‌سازی شده و نتایج شبیه‌سازی با نتایج اندازه‌گیری شده مقایسه می‌شود. در ادامه در جدول (۲) مقادیر عنصرهای غیر پارازیتی ترانزیستور مدنظر در چهار نقطه کار مختلف آورده شده

$$\text{Re}(Z_{12}) = R_s + \frac{A_{s1} + \omega^2 A_{s2}}{\omega^2 + B} \quad (23)$$

$$\text{Re}(Z_{11} - Z_{12}) = R_g + \frac{A_{g1} + \omega^2 A_{g2}}{\omega^2 + B} \quad (24)$$

$$\text{Re}(Z_{22} - Z_{12}) = R_d + \frac{A_{d1} + \omega^2 A_{d2}}{\omega^2 + B} \quad (25)$$

که در این روابط [۱۰]:

$$A_{s2} = C_{gs}^2 C_{gd} (C_{gd} + C_{ds}) R_i \quad (26)$$

$$A_{g2} = C_{gs}^2 (C_{gd} + C_{ds})^2 R_i \quad (27)$$

$$A_{d2} = -C_{gs}^2 C_{gd} C_{ds} R_i \quad (28)$$

$$B = \frac{[G_m C_{gd} + G_{ds} (C_{gs} + C_{gd})]^2}{\Delta^2} \quad (29)$$

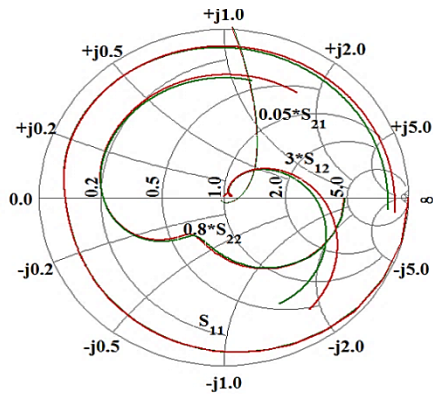
$$A_{s1} = \frac{C_{gd} [G_m C_{gd} + G_{ds} (C_{gs} + C_{gd})]}{\Delta^2} \quad (30)$$

$$A_{g1} = \frac{C_{ds} [G_m C_{gd} + G_{ds} (C_{gs} + C_{gd})]}{\Delta^2} \quad (31)$$

$$A_{d1} = \frac{C_{gs} [G_m C_{gd} + G_{ds} (C_{gs} + C_{gd})]}{\Delta^2} \quad (32)$$

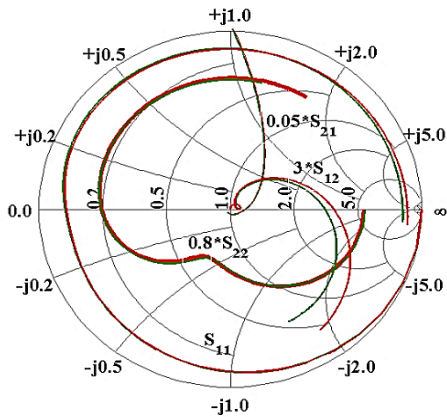
بنابراین اگر شاخص‌های پراکندگی سیگنال کوچک شکل (۳) را در یک نقطه کار متعلق به ناحیه فعال داشته باشیم، می‌توانیم با چند عمل تبدیل ماتریسی و کم کردن اثر خازن‌ها و سلف‌های پارازیتی ماتریس امپدانس شکل (۸) را به دست آورده و با متناسب‌سازی این شاخص‌ها با روابط (۲۳) تا (۲۵) مقادیر مقاومت‌های پارازیتی را به دست آورد. همان‌طور که در این روابط دیده می‌شود، شاخص B در این سه رابطه یکسان است و این شاخص نقش مهمی در دقت این روش برای محاسبه مقاومت‌های پارازیتی دارد [۱۷]. در واقع در عمل مقدار مقاومت‌های پارازیتی وابسته به نقطه کار ترانزیستور هست و برای کم کردن اثر نقطه کار بر روی محاسبه مقاومت‌های پارازیتی، باید نقطه کار را طوری انتخاب کرد که شاخص B پس از متناسب‌سازی روابط (۲۳) تا (۲۵) با شاخص‌های امپدانس شکل (۸)، برای هر سه رابطه به صورت تقریبی یکسان به دست آید و نقطه کار باید در ناحیه‌ای انتخاب شود که جریان کمی از ترانزیستور عبور کرده و همچنین ولتاژ درین-سورس نیز دارای مقدار کمی باشد (به دلیل کم کردن اثر پدیده گرمایش-خودی ترانزیستور). در این مقاله نقطه





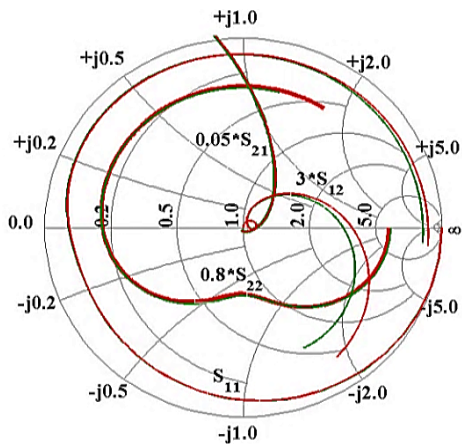
شکل (۱۲): مقایسه شاخص‌های پراکندگی سیگنال کوچک شبیه‌سازی شده (خطوط سبزرنگ) با نتایج اندازه‌گیری شده (خطوط قرمز رنگ) در باند فرکانسی ۱۰۰ KHz تا ۱۰ GHz و در نقطه کار

$$V_{gs} = -2V, V_{ds} = 20V$$



شکل (۱۳): مقایسه شاخص‌های پراکندگی سیگنال کوچک شبیه‌سازی شده (خطوط سبزرنگ) با نتایج اندازه‌گیری شده (خطوط قرمز رنگ) در باند فرکانسی ۱۰۰ KHz تا ۱۰ GHz و در نقطه کار

$$V_{gs} = -1/5V, V_{ds} = 50V$$



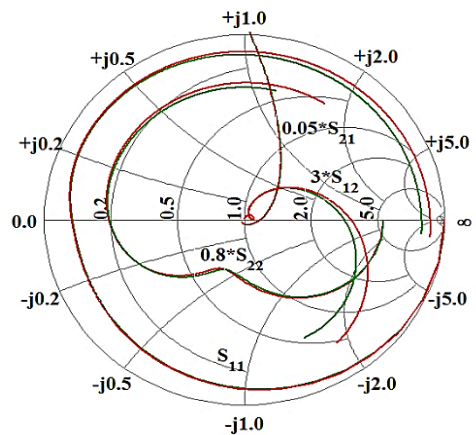
شکل (۱۴): مقایسه شاخص‌های پراکندگی سیگنال کوچک شبیه‌سازی شده (خطوط سبزرنگ) با نتایج اندازه‌گیری شده (خطوط قرمز رنگ) در باند فرکانسی ۱۰۰ KHz تا ۱۰ GHz و در نقطه کار

$$V_{gs} = -1V, V_{ds} = 2V$$

است و در شکل‌های (۱۰) تا (۱۳) شاخص‌های پراکندگی سیگنال کوچک در دو حالت شبیه‌سازی و اندازه‌گیری در نقاط کار مدنظر باهم مقایسه شده‌اند.

جدول (۲): مقادیر عنصرهای پارازیتی ترانزیستور مدنظر در چهار نقطه کار مختلف

$V_{gs} = -1V, V_{ds} = 20V, I_{ds} = 1/46A$		
$R_i = 0/112\Omega$	$R_{ds} = 391\Omega$	$C_{ds} = 1/63pF$
$G_m = 1556mS$ $\zeta = 2/564ps$	$C_{gs} = 19/2pF$	$C_{gd} = 0/398pF$
$V_{gs} = -2V, V_{ds} = 20V, I_{ds} = 264mA$		
$R_i = 0/25\Omega$	$R_{ds} = 608\Omega$	$C_{ds} = 1/63pF$
$G_m = 1179mS$ $\zeta = 2/592ps$	$C_{gs} = 15/5pF$	$C_{gd} = 0/380pF$
$V_{gs} = -2/25V, V_{ds} = 50V, I_{ds} = 3/86mA$		
$R_i = 0/138\Omega$	$R_{ds} = 1042\Omega$	$C_{ds} = 1/63pF$
$G_m = 679mS$ $\zeta = 2/813ps$	$C_{gs} = 12/35pF$	$C_{gd} = 0/369pF$
$V_{gs} = -1/5V, V_{ds} = 50V, I_{ds} = 894mA$		
$R_i = 0/63\Omega$	$R_{ds} = 578\Omega$	$C_{ds} = 1/63pF$
$G_m = 1238mS$ $\zeta = 2/064ps$	$C_{gs} = 17/11pF$	$C_{gd} = 0/375pF$



شکل (۱۱): مقایسه شاخص‌های پراکندگی سیگنال کوچک شبیه‌سازی شده (خطوط سبزرنگ) با نتایج اندازه‌گیری شده (خطوط قرمز رنگ) در باند فرکانسی ۱۰۰ KHz تا ۱۰ GHz و در نقطه کار

$$V_{gs} = -2/25V, V_{ds} = 50V$$



همان طور که در جدول (۴) مشاهده می‌شود میزان درصد خطا کمتر از ۴ درصد هست و این بیانگر این است که الگوریتم پیشنهادی در باند کاری فرکانسی ترانزیستور مدنظر، دارای دقت قابل قبولی است.

## ۶- ارائه جدول مقایسه‌ای

در ادامه یک جدول مقایسه‌ای برای ارزیابی روش به کاررفته شده در این مقاله با چند کار مشابه دیگر که از روش مستقیم استفاده کرده‌اند، ارائه شده است.

شماره مرجع	مزیت روش به کاررفته نسبت به مرجع مورد نظر	ترانزیستور	محدوده فرکانسی	درصد خطا
[۹]	عدم نیاز به ولتاژ گیت سورس بالا (بزرگ‌تر از صفر ولت) برای محاسبه مقاومت و سلفهای پارازیتی	GaN HEMT	۴۵ مگاهرتز تا ۵۰ گیگاهرتز	کمتر از ۴ درصد
[۱۰]	خازنهای پارازیتی درونی ترانزیستور برای محاسبه مقاومتها و سلفهای پارازیتی در نظر گرفته شده است	GaN HEMT	۱۰۰ مگاهرتز تا ۴۰ گیگاهرتز	گزارش نشده است
[۱۱]	اثرات خازنهای پارازیتی درونی برای محاسبه مقاومت و سلفهای پارازیتی در نظر گرفته شده است.	GaN HEMT	۴۵ مگاهرتز تا ۵۰ گیگاهرتز	کمتر از ۵ درصد

**جدول (۵):** جدول مقایسه‌ای روش به کاررفته شده در این مقاله با کارهای دیگران

درواقع در جدول (۵)، مزیت مهم روش به کاررفته در این مقاله نسبت به کارهای دیگران بیان شده است. نکته مهمی که باید در نظر داشت این است که چون ابعاد ترانزیستورهای مورد استفاده در کارهای دیگران خیلی کوچک بوده، محدوده فرکانسی‌ها شبیه‌سازی آن‌ها نیز بیشتر بوده است.

## ۷- نتیجه‌گیری

اولین قدم در نمونه‌سازی سیگنال بزرگ ترانزیستور، نمونه‌سازی سیگنال کوچک آن هست. در این مقاله، ابتدا مدار معادل سیگنال کوچک فرکانس بالای ترانزیستور GaN HEMT که شامل ۱۷ عنصر بود، معرفی شد. این نمونه سیگنال کوچک را می‌توان به دو قسمت پارازیتی و غیر پارازیتی تقسیم کرد. در نمونه سیگنال کوچک، قسمت غیر پارازیتی مهم‌ترین بخش محسوب می‌شود که برای به دست آوردن آن، باید ابتدا بخش پارازیتی که شامل ۱۰ عنصر است، مشخص شود. در این مقاله، عنصرهای پارازیتی مدار معادل سیگنال کوچک فرکانس بالا

همان طور که در شکل‌های (۱۰) تا (۱۳) مشاهده می‌شود تطابق خوبی بین نتایج اندازه‌گیری شده و نتایج شبیه‌سازی شده مشاهده می‌شود. برای صحت سنجی دقیق‌تر الگوریتم پیشنهادی می‌توان میزان درصد خطا بین شاخص‌های پراکندگی سیگنال کوچک شبیه‌سازی شده و اندازه‌گیری شده را محاسبه کرد. برای محاسبه درصد خطا می‌توان از رابطه زیر استفاده کرد [۱۸]:

$$\% E_{mor} = \frac{1}{4} \sum_{i,j} \sqrt{\frac{|S_{i,j}^{meas} - S_{i,j}^{simulated}|^2}{|S_{i,j}^{meas}|^2}} * 100 \quad (33)$$

که در آن  $S_{i,j}^{meas}$  شاخص پراکندگی سیگنال کوچک اندازه‌گیری شده و  $S_{i,j}^{simulated}$  شاخص پراکندگی سیگنال کوچک شبیه‌سازی شده است. در جدول زیر با توجه به این رابطه میزان درصد خطا بین نتایج اندازه‌گیری و شبیه‌سازی برای چهار نقطه کار مدنظر و در باند فرکانسی ۱۰۰ کیلوهرتز تا ۱۰ گیگاهرتز آورده شده است:

**جدول (۳):** درصد خطا بین نتایج اندازه‌گیری و شبیه‌سازی برای چهار نقطه کار مدنظر در باند فرکانسی ۱۰۰ KHz تا ۱۰ GHz

نقطه کار	درصد خطا
$V_{gs} = -2/25V, V_{ds} = 50V$	۸/۷۳
$V_{gs} = -2V, V_{ds} = 20V$	۹/۰۱
$V_{gs} = -1/5V, V_{ds} = 50V$	۹/۴۴
$V_{gs} = -1V, V_{ds} = 20V$	۹/۳۳

همان طور که در جدول بالا مشاهده می‌شود میزان درصد خطا کمتر از ۱۰ درصد هست و بیانگر این است که الگوریتم پیشنهادی دارای دقت قابل قبولی است. البته باید این نکته را در نظر داشت که فرکانس بیشینه کاری این ترانزیستور ۶ گیگاهرتز است و اگر همین مقایسه را تا فرکانس ۶ گیگاهرتز انجام دهیم، درصد خطا به میزان قابل توجهی کاهش می‌یابد که به این دلیل است که با افزایش فرکانس طول موج افزایش پیدا کرده و اعتبار مدار معادل مداری که برای ترانزیستور در نظر گرفته شده است، کاهش پیدا می‌کند. در جدول زیر میزان درصد خطا بین نتایج اندازه‌گیری و شبیه‌سازی برای چهار نقطه کار مدنظر در باند فرکانسی ۱۰۰ کیلوهرتز تا ۶ گیگاهرتز، آورده شده است:

**جدول (۴):** درصد خطا بین نتایج اندازه‌گیری و شبیه‌سازی برای چهار نقطه کار مدنظر در باند فرکانسی ۱۰۰ KHz تا ۶ GHz

نقطه کار	درصد خطا
$V_{gs} = -2/25V, V_{ds} = 50V$	۲/۸۷
$V_{gs} = -2V, V_{ds} = 20V$	۳/۱۹
$V_{gs} = -1/5V, V_{ds} = 50V$	۳/۷۲
$V_{gs} = -1V, V_{ds} = 20V$	۳/۵

- [7] A. H. Jarndal, A. S. Hussein, "Hybrid small-signal model parameter extraction of GaN HEMTs on Si and SiC substrates based on global optimization." *Int J RF Microw Comput Aided Eng*. Vol. 29, No. 10, pp. 1-10, 2019.
- [8] A. Khusro, M. S. Hashmi and A. Q. Ansari, "Enabling the development of accurate intrinsic parameter extraction model for GaN HEMT using support vector regression (SVR)," *IET Microwaves, Antennas & Propagation*, Vol. 13, No. 9, pp. 1457-1466, 2019.
- [9] G. Crupi et al., "Accurate Multibias Equivalent-Circuit Extraction for GaN HEMTs," *IEEE Transactions on Microwave Theory and Techniques*, Vol. 54, No. 10, pp. 3616-3622, 2006.
- [10] V. Nagarajan et al., "A Simple Extraction Method for Parasitic Series Resistances in GaN HEMTs Considering Non-Quasi-Static Effects," *Microelectronics Journal*, Vol. 87, pp. 51-54, 2019.
- [11] G. Chen, V. Kumar, R. S. Schwindt and I. Adesida, "A low gate bias model extraction technique for AlGaIn/GaN HEMTs," *IEEE Transactions on Microwave Theory and Techniques*, Vol. 54, No. 7, pp. 2949-2953, 2006.
- [12] CLF1G0060-30, "Broadband RF power GaN HEMT," <https://amplion.com/general-purpose-wideband/50-v/CLF1G0060-30.html>, 2018.
- [13] P. M. White, and R. M. Healy, "Improved Equivalent Circuit for Determination of MESFET and HEMT Parasitic Capacitances from Coldfet Measurements," *IEEE Microwave and Guided Wave Letters*, Vol. 3, No. 12, pp. 453-454, 1993.
- [14] A. Jarndal and G. Kompa, "A new small-signal modeling approach applied to GaN devices," in *IEEE Transactions on Microwave Theory and Techniques*, Vol. 53, No. 11, pp. 3440-3448, 2005.
- [15] R. Tayrani, J. E. Gerber, T. Daniel, R. S. Pengelly and U. L. Rohde, "A new and reliable direct parasitic extraction method for MESFETs and HEMTs," *23rd European Microwave Conference*, pp. 451-453, 1993.
- [16] J. A. Z. Flores, "Device Characterization and Modeling of Large-Size GaN HEMTs," *Ph.D. Thesis*, Kassel Univ, Germany, 2012.
- [17] S. Lee, H. K. Yu, C. S. Kim, J. G. Koo and K. S. Nam, "A novel approach to extracting small-signal model parameters of silicon MOSFET's," *IEEE Microwave and Guided Wave Letters*, Vol. 7, No. 3, pp. 75-77, 1997.
- [18] R. G. Brady, C. H. Oxley and T. J. Brazil, "An Improved Small-Signal Parameter-Extraction Algorithm for GaN HEMT Devices," *IEEE Transactions on Microwave Theory and Techniques*, Vol. 56, No. 7, pp. 1535-1544, 2008.

ترانزیستور GaN HEMT مدنظر در فرکانس‌های پایین و از طریق روابط ریاضی و با استفاده از شاخص‌های پراکنندگی سیگنال کوچک ترانزیستور، در دو نقطه کار خاص محاسبه شدند. این روش نسبت به روش‌های بهینه‌سازی از پیچیدگی بسیار کمتری برخوردار بوده و نیاز به صرف وقت زیاد هم ندارد. همچنین در این روش، نیازی به ولتاژ گیت-سورس بالا برای محاسبه مقاومت‌ها و سلف‌های پارازیتی که باعث صدمه دیدن ترانزیستور می‌شود، نیست. در پایان نیز نتایج شبیه‌سازی شده با نتایج اندازه‌گیری شده مقایسه و درصد خطا بین نتایج اندازه‌گیری شده و نتایج شبیه‌سازی شده محاسبه شد و نشان داده شد که الگوریتم پیشنهادی تا فرکانس ۱۰ گیگاهرتز دارای درصد خطای کمتر از ۱۰ درصد هست و همچنین در باند فرکانسی کاری ترانزیستور مدنظر درصد خطا کمتر از ۵ درصد هست و بنابراین این الگوریتم پیشنهادی دارای دقت قابل قبولی برای نمونه‌سازی سیگنال کوچک ترانزیستور است

## ۸- مراجع

- [1] S. Dahmani, "Large-Size AlGaIn/GaN HEMT Large-Signal Electrothermal Characterization and Modeling for Wireless Digital Communications," *Ph.D. Thesis*, Kassel Univ, Germany, 2011.
- [2] E. S. Mengistu, "Large-signal modeling of GaN HEMTs for Linear Power amplifier Design," *Ph.D. Thesis*, Kassel Univ, Germany, 2008.
- [3] A. Jarndal, "Large-Signal Modeling of GaN Device for High Power Amplifier Design," *Ph.D. Thesis*, Kassel Univ, Germany, 2006.
- [4] A. Rezaei and Z. Cheraghi, "Design and Construction of 100W Solid State Pulse Amplifier by using CW Amplifier Modules," *Radar*, vol. 4, pp. 39-48, 2017. (In Persian)
- [5] G. Dambrine, A. Cappy, F. Heliodore, and E. Playez, "A New Method for Determining the FET Small-Signal Equivalent Circuit," *IEEE Transactions on Microwave Theory and Techniques*, Vol. 36, No. 7, pp. 1151 - 1159, 1988.
- [6] A. Khusro, S. Husain, M. S. Hashmi, M. Auyuneur and A. Q. Ansari, "A Reliable and Fast ANN Based Behavioral Modeling Approach for GaN HEMT," *16th International Conference on Synthesis, Modeling, Analysis and Simulation Methods and Applications to Circuit Design (SMACD)*, pp. 277-280, 2019.

# **A Quasi-Analytical Method for Extraction Small-Signal Model Parameters of Microwave Power Transistors with High Electron Mobility Based on Gallium Nitride Technology**

**M. Lorestani, R. A. Sadeghzadeh<sup>\*</sup>, M. N. Moghadasi**

<sup>\*</sup> Toosi University of Technology, Tehran, Iran

(Received: 02/11/2019, Accepted: 10/07/2020)

## **Abstract**

In the recent decade, GaN HEMT power transistors have gained increasing popularity among radar power amplifier designers. To design a microwave power amplifier using a GaN HEMT transistor, we need a large-signal model for the transistor, which accurately characterizes its behaviour. The first step to implement large-signal modelling is to build small signal modelling. The small-signal model of a transistor can be apportioned into two extrinsic and intrinsic parts. For the extraction of intrinsic elements, the extrinsic elements should be extracted at first. In this paper, The Parasitic capacitors and inductors of a typical transistor are calculated directly and without the need for optimization at low frequencies using measurement results in different operating conditions. And then with a few matrix conversions and direct relationships, the parasitic resistors of the transistor at a bias point belong to the active region (no need for gate-source voltage greater than zero) are calculated. The improved method is verified by comparing the simulated small-signal S-parameter with the measured data up to 10GHz. Results indicate that the error is less than 4% in the operating frequency band of the transistor. In comparison with counterpart optimization methods, this method takes less time and is less complicated.

**Keywords:** Gallium nitride transistor, Small signal model, extrinsic elements, intrinsic elements

---

<sup>\*</sup> Corresponding author E-mail: sadeghz@kntu.ac.ir